

## Proceeding Series of the Brazilian Society of Computational and Applied Mathematics

---

# Geração de aproximações de diferenças finitas em malhas não-uniformes para as EDPs de Laplace e Helmholtz

Juliano D. B. Santos<sup>1</sup>

Laboratório Nacional de Computação Científica, LNCC, Petrópolis, RJ

Abimael F. D. Loula<sup>2</sup>

Laboratório Nacional de Computação Científica, LNCC, Petrópolis, RJ

Geraldo J. B. dos Santos<sup>3</sup>

Departamento de Tecnologia, UEFS, Feira de Santana, BA

Laboratório Nacional de Computação Científica, LNCC, Petrópolis, RJ

**Resumo.** Um método de diferenças finitas é aplicado aos problemas de Laplace e Helmholtz em malhas uniforme e não uniforme. Neste trabalho propomos para os problemas de Laplace e Helmholtz aproximações por diferenças finitas via bases polinomiais harmônicas e de Bessel, respectivamente, as quais são comparadas com as aproximações clássicas via polinômios canônicos. Os resultados são ilustrados pelas taxas de convergência obtidas.

**Palavras-chave.** Diferenças Finitas, Malhas não-estruturadas, Laplace, Helmholtz.

## 1 Geração de stencil de diferenças finitas para malhas não uniformes

Seja  $\Omega$  um domínio aberto limitado em  $\mathbb{R}^{n_{sd}}$ ,  $n_{sd} = 1, 2$  ou  $3$ , com um contorno Lipschitz-contínuo  $\Gamma = \partial\Omega$ . Um problema de valor de contorno qualquer, na sua forma forte, pode ser modelado de forma abstrata por:

**Problema F:** Encontrar as variável de campo  $\mathbf{u}(\mathbf{x})$ :  $\Omega \rightarrow \mathbb{R}^{n_{sd}}$ ,  $\forall \mathbf{x} \in \Omega$ , tal que

$$\mathcal{L}(\mathbf{u}) = \mathbf{f} \quad \text{em } \Omega, \quad (1)$$

com as condições de contorno dadas por:

$$\mathcal{B}(\mathbf{u}) = \bar{\mathbf{g}} \quad \text{sobre } \Gamma. \quad (2)$$

onde  $\mathbf{f}$  é um termo fonte definido no domínio  $\Omega$  e  $\bar{\mathbf{g}}$  é a condição de contorno prescrita sobre todo o contorno  $\Gamma$ . Os operadores  $\mathcal{L}$  e  $\mathcal{B}$  representam um sistema de equações diferenciais parciais no domínio  $\Omega$  e no contorno  $\Gamma$ , respectivamente.

---

<sup>1</sup>juliano@lncc.br

<sup>2</sup>aloc@lncc.br

<sup>3</sup>belmonte@uefs.br

A discretização das equações 1 e 2 em diferenças finitas pode ser descrita dentro de um *framework* de tal forma que seja independente do número de pontos usados no stencil e também independente da construção da malha, se uniforme ou não uniforme. A seguir iniciamos a construir tal estratégia.

Seja  $X$  um conjunto finito tal que  $|X|$  denote seu número de elementos e  $\mathcal{N} = \{\mathbf{x}_0, \dots, \mathbf{x}_{|\mathcal{N}|-1}\} \subset \Omega \cup \Gamma$  um conjunto de pontos indexados, também chamados de nós, onde a solução possa ser avaliada e aproximada. Iremos denotar o conjunto de pontos de  $\mathcal{N}$  no interior de  $\Omega$  por  $\mathcal{I}$ , de modo que  $\mathcal{I} := \mathcal{N} \cap \Omega$ . O conjunto de pontos de  $\mathcal{N}$  no contorno (ou fronteira) de  $\Omega$  será denotado por  $\mathcal{BP} := \mathcal{N} \cap \Gamma$ . Além disso, para cada  $i \in \{0, \dots, |\mathcal{N}| - 1\}$ , será associado o conjunto  $\mathcal{A}_i \subset \{0, \dots, |\mathcal{N}| - 1\}$ , que contém os pontos adjacentes a  $x_i$  escolhidos segundo um determinado critério. Deste modo, se  $j \in \mathcal{A}_i$ , teremos que  $x_j$  será adjacente a  $x_i$ . Para as aplicações que serão feitas mais adiante será suficiente admitirmos que  $i \in \mathcal{A}_i$ , para todo  $i \in \{0, \dots, |\mathcal{N}| - 1\}$ .

Sendo  $\mathbf{x}$  um ponto dado em  $\mathcal{N}$ , associamos um índice  $\text{ind}(\mathbf{x})$ , que, para qualquer  $i \in \{0, \dots, |\mathcal{N}| - 1\}$ , é dado por  $\text{ind}(\mathbf{x}_i) := i$ . Donde segue que  $\text{ind}(X)$  será o conjunto dos índices dos pontos de  $X$  em  $\mathcal{N}$ . Temos, em particular, que  $\text{ind}(\mathcal{N}) = \{0, \dots, |\mathcal{N}| - 1\}$ .

Considerando que a equação 1 é uma equação diferencial parcial de uma variável escalar  $u(\mathbf{x})$ ,  $\mathbf{x} \in \Omega \subset \mathbb{R}^2$ , sua aproximação clássica em diferenças finitas sobre um ponto  $x_i \in \mathcal{I}$  deve atender à seguinte relação

$$\mathcal{L}u(\mathbf{x}_i) \cong \sum_{j \in \mathcal{A}_i} c_j u(\mathbf{x}_j), \tag{3}$$

com os coeficientes  $c_j$ , com  $j \in \mathcal{A}_i$ , calculados de forma que o valor do operador  $\mathcal{L}$  sobre a variável  $u$  no ponto  $\mathbf{x}_i$  seja dado como combinação linear dos valores da função  $u$  avaliados nos pontos  $\mathbf{x}_j$  pertencentes a uma vizinhança  $\mathcal{A}_i$  de  $\mathbf{x}_i$ . A aproximação do operador na sua forma forte pode ser substituída pela sua versão na forma fraca, versão assim chamada de diferenças finitas energéticas, tendo a vantagem de reduzir a ordem das derivadas aproximadas.

O cálculo de  $c_j$ , stencil de diferenças finitas em  $\mathbf{x}_i$ , pode ser realizado de diversas formas. Aqui utilizaremos a expressão direta, dada pela equação 3, substituindo a variável  $u$  por cada uma das  $m$  funções bases em  $\mathbb{B}_i$  avaliadas no ponto  $\mathbf{x}_i$ . Usando uma base  $\mathbb{B}_i$  com  $m$  funções  $\varphi_l$ ,

$$\mathbb{B}_i := \{\varphi_1, \varphi_2, \dots, \varphi_m\}, \tag{4}$$

obtemos para cada  $\varphi_l$ ,  $l = 1, \dots, m$ , uma equação,

$$\sum_{j \in \mathcal{A}_i} c_j \varphi_l(\mathbf{x}_j) = \mathcal{L}\varphi_l(\mathbf{x}_i), \tag{5}$$

a qual é avaliada no ponto  $i$ , resultando em um sistema de  $m$  equações algébricas lineares

e  $|\mathcal{A}_i|$  incógnitas  $c_j$ . Na forma matricial, sendo  $m = |\mathcal{A}_i|$ , tal sistema é dado por

$$\underbrace{\begin{bmatrix} \kappa_{11} & \kappa_{12} & \kappa_{13} & \dots & \kappa_{1m} \\ \kappa_{21} & \kappa_{22} & \kappa_{23} & \dots & \kappa_{2m} \\ \vdots & \vdots & \vdots & \ddots & \vdots \\ \kappa_{m1} & \kappa_{m2} & \kappa_{m3} & \dots & \kappa_{mm} \end{bmatrix}}_{\mathbf{K}} \underbrace{\begin{bmatrix} c_1 \\ c_2 \\ \vdots \\ c_m \end{bmatrix}}_C = \underbrace{\begin{bmatrix} f_1 \\ f_2 \\ \vdots \\ f_m \end{bmatrix}}_F \quad (6)$$

sendo que  $\mathbf{K}$  é a matriz de entradas  $\kappa_{lj} = \varphi_l(\mathbf{x}_j)$ ,  $j, l = 1 \dots m$ ,  $C$  o vetor de incógnitas e  $F$  o vetor de termo fonte com componentes  $f_l = \mathcal{L}\varphi_l(\mathbf{x}_i)$ . Os  $|\mathcal{A}_i|$  pontos  $\mathbf{x}_j$  são escolhidos segundo algum critério de forma a garantir que a matriz  $\mathbf{K}$  seja não singular e que se obtenha a melhor representação do operador pelo *stencil* de diferenças. Se  $m > |\mathcal{A}_i|$  o sistema dado pela equação 6 ainda pode ser resolvido usando a técnica de mínimos quadrados, minimizando o erro ponderado  $E = \sum_{l=1}^m \left\{ W_l \left\{ \sum_{j \in |\mathcal{A}_i|} c_j \varphi_l(\mathbf{x}_j) - \mathcal{L}\varphi_l(\mathbf{x}_i) \right\} \right\}^2$ , sendo  $W_l$  uma função peso de suporte compacto associada ao ponto  $l$  (ver Liszka [1]).

## 2 Aplicação ao problema de Laplace

Seja um domínio  $\Omega \subset \mathbb{R}^2$  aberto e limitado de fronteira  $\Gamma$  suave por partes e Lipschitz contínuo, sendo  $\Gamma = \partial\Omega$ . Seja  $u : \Omega \rightarrow \mathbb{R}$  uma função suficientemente regular. Nessas condições, o problema de Laplace com condições de contorno de Dirichlet é dada por

$$\begin{aligned} -\Delta u(\mathbf{x}) &= 0, \quad \mathbf{x} \in \mathbb{R}^2 \text{ em } \Omega \\ u &= g \text{ ao longo de } \partial\Omega \end{aligned} \quad (7)$$

onde  $\Delta$  representa o operador laplaciano em coordenadas cartesianas,

$$\Delta u := \frac{\partial^2 u}{\partial x^2} + \frac{\partial^2 u}{\partial y^2}, \quad (8)$$

e  $g : \partial\Omega \rightarrow \mathbb{R}$  é uma função definida no contorno  $\partial\Omega$ .

Para o cálculo do stencil de diferenças finitas aplicado ao problema de Laplace, usando como conjunto de funções base os primeiros 9 polinômios canônicos,

$$\mathbb{B} := \{1, x, y, xy, x^2, y^2, x^2y, xy^2, x^2y^2\}, \quad (9)$$

obtemos um resultado idêntico ao esquema de diferenças finitas de  $2^a$  ordem via série de Taylor. Caso a malha seja uniforme, o stencil associado terá cinco pontos, conforme LeVeque [2]. Como nem todos os polinômios presentes na base da expressão (9) satisfazem a equação de Laplace, segue que o termo de fonte para este caso não será nulo e o sistema (6) é resolvido invertendo-se a matriz  $\mathbf{K}$ .

Propomos o emprego da base polinomial harmônica como alternativa na obtenção de aproximações para este problema de Laplace (7). Para este caso a base polinomial será

$$\mathbb{B} := \{1, x, y, xy, x^2 - y^2, x^3 - 3xy^2, 3x^2y - y^3, x^4 - 6x^2y^2 + y^4, 4x^3y - 4xy^3\} \quad (10)$$

formada por 9 polinômios que satisfazem a equação de Laplace identicamente.

Para esta base de funções, ter-se-á que o termo de fonte será identicamente nulo. Para que o sistema seja resolvível geramos uma equação identidade fixando o valor do coeficiente  $c_9 = 4$  relacionado com o ponto central do stencil  $\mathbf{x}_9$ , gerando uma equação identidade e um termo de fonte. Donde segue que os demais oito coeficientes são calculados.

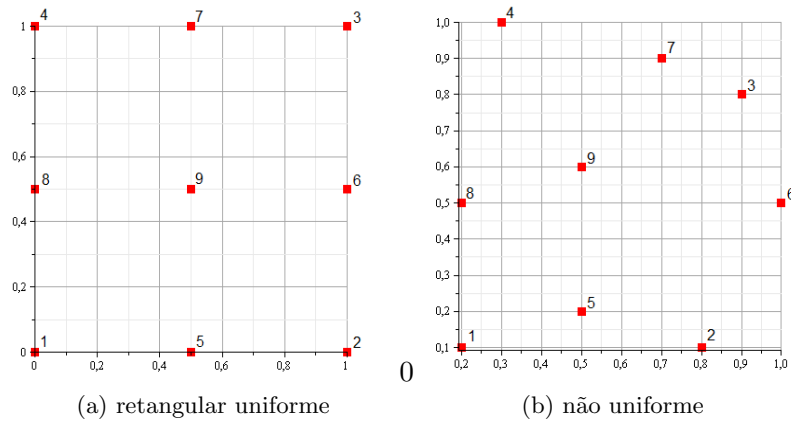


Figura 1: Exemplos de pontos de stencil de nove nós em malhas do tipo retangular uniforme e não uniforme, respectivamente.

A Figura 1 contém exemplos de *stencil* sobre malhas uniforme e não uniformes.

Visando o caso mais geral, simulações foram feitas sobre malhas não uniformes, ou seja, quando os parâmetros de malha  $\Delta x$  e  $\Delta y$  são em geral distintos para cada ponto do stencil. Para a geração deste tipo de malha adotamos o expediente de se gerar uma malha estruturada de coordenadas  $(a_i, b_i) \in \mathcal{I}$  de nós interiores  $i$  e, em seguida, através de uma função randômica, perturbar de forma independente as coordenadas  $a'_i := a_i + 0.3 \cdot r_i \Delta x$ ,  $b'_i := b_i + 0.3 \cdot s_i \Delta y$ , onde  $r_i$  e  $s_i$  são números randômicos distribuídos uniformemente no intervalo  $[-0.5, 0.5]$ . A perturbação foi definida de modo a possuir um valor máximo percentual dos parâmetros de malha  $\Delta x$  e  $\Delta y$ . Em experimentos adotamos perturbações com valor percentual máximo de 30%.

A metodologia descrita nos parágrafos anteriores foi implementada para a geração da aproximação por diferenças finitas da equação de Laplace e, mais adiante, para o problema de Helmholtz. Em ambos os casos foram utilizadas as malhas  $10 \times 10$ ,  $20 \times 20$ ,  $40 \times 40$  e  $80 \times 80$  para o estudo da taxa de convergência. Para o caso em que foi utilizada a base canônica um método de segunda ordem é obtido para malhas uniforme e não uniforme de acordo com as taxas nos gráficos das Figuras (2a) e (2b), nessa ordem. Uma abordagem análoga foi feita via polinômios harmônicos. Ao invés de aproximarmos os operadores de derivada, como feito anteriormente, iremos aproximar a própria equação de Laplace, por meio de uma base de funções que a satisfazem identicamente, usando as funções harmônicas. Neste caso, um *stencil* de sexta ordem para malha ortogonal uniforme e de segunda ordem para malha não uniforme foram obtidos, conforme apresentado no estudo de convergência das Figuras (2c) e (2d), respectivamente.

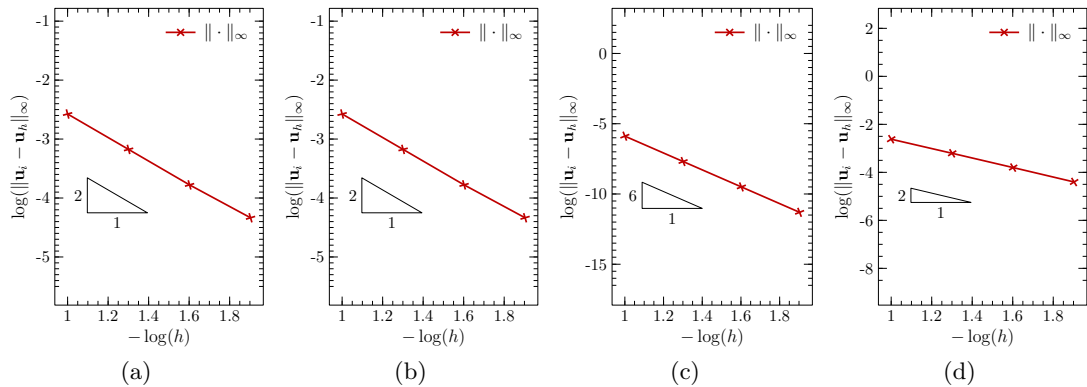


Figura 2: Estudo de convergência do problema de Laplace para as bases canônica e harmônica em malhas uniformes e irregulares. (a) Base canônica e malha uniforme; (b) Base canônica e malha não uniforme; (c) Base harmônica e malha uniforme; (d) Base harmônica e malha não uniforme

### 3 Aplicação ao problema de Helmholtz: Ondas não direcionais

A investigação analítica de ondas em meios não dispersivos é baseada na Equação de Helmholtz reduzida (ver Babuska e Ihlenburg [3]). Propomos uma abordagem para este problema em coordenadas polares com dependência apenas radial

$$\frac{1}{r} \frac{\partial}{\partial r} \left( r \frac{\partial u}{\partial r} \right) + k^2 u = 0, \text{ em } \Omega \subset \mathbb{R}^2, \tag{11}$$

sendo o número de ondas  $k$  uma constante. Neste caso será adotada uma metodologia de resolução por diferenças finitas de modo que o conjunto de funções base adotado será formado pelas funções de Bessel de primeiro tipo e ordem zero. Seja  $\mathbf{x}_j = (a_j, b_j)$  um ponto do stencil centrado em  $\mathbf{x}_i = (a, b)$ . Para cada nó  $j \in \mathcal{A}_i$  deste, definimos

$$r_j = \sqrt{(a - a_j)^2 + (b - b_j)^2} \tag{12}$$

de modo que as funções de Bessel associadas serão

$$J_0(kr_j) = 1 - \frac{(kr_j)^2}{4} + \frac{(kr_j)^4}{64} - \frac{(kr_j)^6}{2304} + \dots \tag{13}$$

que são funções que satisfazem a equação de Helmholtz, cada uma centrada em um dos nove nós do stencil, com dependência apenas radial. Como todas as funções da base de Bessel satisfazem o problema identicamente precisamos, assim como feito no problema de Laplace, fixar um parâmetro de alguma maneira conveniente levando-se em conta a numeração dos nós do stencil conforme a Figura (1). Isto será feito impondo-se a restrição  $\varphi_{|\mathcal{A}_i|} = \varphi_9 = 1$ , que não satisfaz a EDP de Helmholtz. Com isso, o sistema  $9 \times 9$  terá termo de fonte não nulo, donde a solução não trivial é factível.

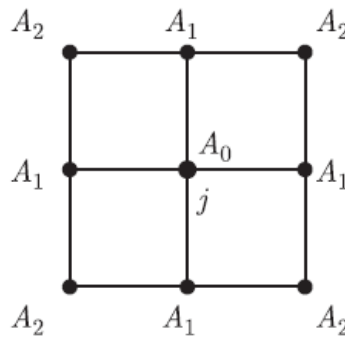


Figura 3: Stencil uniforme de nove nós.

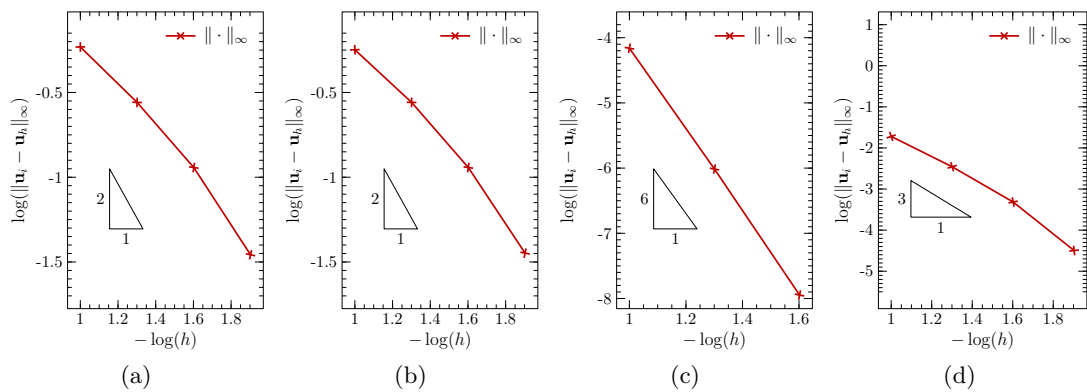


Figura 4: Estudo de convergência do problema de Helmholtz para as bases canônica e de Bessel em malhas uniformes e irregulares. (a) Base canônica e malha uniforme; (b) Base canônica e malha não uniforme; (c) Base de Bessel e malha uniforme; (d) Base Bessel e malha não uniforme

Este procedimento, empregado em malhas uniformes e fixando o coeficiente  $c_m := c_9 = 4$ , resulta no stencil da Figura (3) cuja simetria implica em

$$\begin{aligned} c_1 = c_2 = c_4 = c_3 &= A_1 \\ c_5 = c_6 = c_7 = c_8 &= A_2 \end{aligned} \tag{14}$$

sendo que

$$\begin{aligned} A_1 &= -\frac{4}{5} - \frac{29}{125}(kh)^2 - \frac{2549}{50000}(kh)^4 - \frac{473849}{45000000}(kh)^6 - \frac{10086892607}{470400000000}(kh)^8 \dots \\ A_2 &= -\frac{1}{5} - \frac{17}{250}(kh)^2 - \frac{801}{50000}(kh)^4 - \frac{76313}{22500000}(kh)^6 - \frac{1091144231}{1568000000000}(kh)^8 \dots \end{aligned} \tag{15}$$

são os mesmos coeficientes do método Quasi Optimal Finite Difference method(QOFD) apresentado em [4]. Ou seja, nossa proposta é equivalente ao stencil de poluição mínima do método QOFD, um método superior à aproximações feitas com base canônica. De

fato, os estudos de convergência apontam que um método de segunda ordem é obtido para aproximação usual seja a malha uniforme ou não, conforme os gráficos (4a) e (4b), por essa ordem. Já as aproximações via base de Bessel resultam em sexta ordem para malha uniforme e pelo menos terceira ordem para malha não uniforme conforme consta nos gráficos (4c) e (4d) de modo respectivo.

## 4 Conclusões

Apresentamos estratégias de aproximação por diferenças finitas para os problemas de Laplace e Helmholtz. Para o problema de Laplace foram empregadas uma base de funções harmônicas que se mostrou de sexta ordem em malhas cartesianas uniformes. Para malhas irregulares mostrou-se com desempenho análogo ao esquema clássico de diferenças de segunda ordem. O problema de Helmholtz foi aproximado tendo como base polinomial as funções de Bessel de primeiro tipo e ordem zero. Esta abordagem apresentou ganhos significativos relativos à taxas de convergência em malhas uniformes e irregulares. De fato, enquanto que o esquema clássico apresentou segunda ordem em ambas as malhas, como esperado, nossa abordagem apresentou sexta ordem e terceira ordem em malhas regulares e irregulares, de modo respectivo.

## Agradecimentos

O primeiro autor agradece os demais autores pelos ensinamentos e, também, ao programa de recursos humanos PRH da ANP pelo financiamento do mestrado.

## Referências

- [1] T. Liszka and J. Orkisz. The finite difference method at arbitrary irregular grids and its application in applied mechanics. *Computers & Structures*, 11:83–95, 1980.
- [2] R. J. LeVeque. *Finite Difference Methods for Differential Equations*. University of Washington, 2005.
- [3] I. M. Babuska and F. Ihlenburg. Finite element solution of the helmholtz equation with high wave number part i: The h-version of the fem,. *Computers. & Mathematics with Applications*, 30:9–37, 1995.
- [4] D. T. Fernandes. Métodos de elementos finitos e diferenças finitas estabilizados para o problema de helmholtz. Tese de Doutorado, LNCC - Laboratório Nacional de Computação Científica, 2009.